#### 原著

坐骨神経挫滅によるヒラメ筋及び前脛骨筋の萎縮,ならびに顎下腺の微細構造に及ぼす $\alpha$ -isoproterenolの影響

猪股 高志,村田 栄子1),穐田 真澄2)

# Effects of $\alpha$ -isoproterenol on the Atrophy of Soleus and Tibialis Anterior Muscles after Sciatic Nerve Crush Injury, and on Microstructure of Submandibular Gland

Takashi Inomata, Eiko Murata<sup>1)</sup>, Masumi Akita<sup>2)</sup> (Department of Physical Therapy, Saitama Medical School Junior College, <sup>1)</sup>First Department of Anatomy and <sup>2)</sup>Division of Morphological Science, Saitama Medical School, Moroyama, Iruma-gun, Saitama 350-0495, Japan)

 $\alpha$ -isoproterenol was administrated to study its effect on the soleus and tibialis anterior muscles after sciatic nerve crush injury.

ICR mice were divided into 3 groups; nerve crush injury (NC group),  $\alpha$ -isoproterenol administration after nerve crush injury (NC•IPR group) and control (CNT group). At three weeks following crush injury, soleus and tibialis anterior muscles were sampled for light and electron microscopic observation. Irregular banding pattern of myofilaments was seen in NC group. Administration of  $\alpha$ -isoproterenol induced prevention of muscular atrophy in all muscles in NC group. Notably, the size of cross-sectional area in the red muscle dominant soleus muscle in NC•IPR group was significantly larger than that in NC group. However, there was no significant difference in the white muscle dominant tibialis anterior muscle. The result suggested a substantial effect of  $\alpha$ -isoproterenol on red muscles in prevention of muscular atrophy after nerve crush injury.

Investigated also was the influence of  $\alpha$ -isoproterenol on the submandibular gland in Wistar rats in addition to the same mice as above. Electron density of secretory granules in the granular duct cells differed between  $\alpha$ -isoproterenol administrated group and control group. Whereas control group showed many secretory granules equally with high electron density,  $\alpha$ -isoproterenol administrated group showed variability in electron density among secretory granules with reduction in the number of secretory granules with high electron density. GS-II displayed little reactivity in secretory granules of the granular duct in both groups, while WGA induced intensive effect in the granules with high electron density in the both groups. These results indicated that lectin staining in the granular ducts derived from sialic acid within the electron-dense granules. Hypertrophy of acinar cells of the submandibular gland was observed in both species. The rat acinar cells developed peculiar lamellar inclusions in the secretory granules, which exhibited WGA reactivity.

In the application of  $\alpha$ -isoproterenol for prevention muscular atrophy, one should be consider its side effects on the submandibular gland as observed in the present study.

**Keywords:** sciatic nerve, nerve crush injury,  $\alpha$ -isoproterenol, soleus muscle, tibialis anterior muscle, electron microscope.

J Saitama Med School 2001;28: 171-178 (Received July 10, 2001)

#### 緒言

末梢神経障害や長期臥床などによって筋は萎縮し、 重篤な機能障害に結びつく. その機能回復のために は、末梢神経障害の場合はその神経の再生を待つ必要 がある. しかし、その間に筋自体は萎縮し続け、神経 が再生した時点には著しく筋力は低下する. 廃用性萎縮の場合には早期の運動療法が必要であるが, 意識障害などのため, やむなく臥床を強いられる場合もある. このような場合, 意識は回復しても筋萎縮が著しく進行する. このような筋に対して, 経皮的に電気刺激を行うことにより筋萎縮を予防しようとする試みがある<sup>1,2)</sup>が, 刺激時の痛みのため, ある程度の苦痛を強いることとなる. そこで薬物による苦痛の少ない筋萎縮予防法が期待される.

埼玉医科大学短期大学理学療法学科 <sup>1)</sup>埼玉医科大学第一解剖学教室,<sup>2)</sup>同中央研究施設形態部門 〔平成 13 年 7 月 10 日 受付〕

交感神経性の $\beta$ -作動薬である $\alpha$ -isoproterenolは、心 筋に存在するmyosinのH鎖の数を増加させる<sup>3</sup>. また, 腓腹筋, ヒラメ筋などの骨格筋の直径を太くすると言 われている<sup>4,5)</sup>. さらに、α-isoproterenolが眼輪筋、ア ブミ骨筋に対して、筋線維のサイズだけではなく、チ トクローム酸化酵素活性を上昇させることが報告され た $^{6}$ . さらに,  $\alpha$ -isoproterenolには, 顔面神経挫滅に よる眼輪筋の変性を軽減する効果が認められてい  $a^{7}$ . このように、 $\alpha$ -isoproterenol適用による筋肥大 や筋萎縮に対する予防効果についての研究が見られる が、その効果が、白筋、赤筋の両方に同様に作用する のか, あるいはいずれか一方により強く作用するか, などについての研究はみられない. また臨床的には副 作用として特に記載されていないが、α-isoproterenol の長期投与による作用としてよく知られているものに 唾液腺の肥大がある. Mehansho と Carlson<sup>8</sup>は肥大だ けでなく, α-isoproterenol投与により唾液腺の分泌顆 粒に、特別なプロリンに富む糖蛋白が出現すると述べ ている. これらは $\alpha$ -isoproterenolの適用に際しての副 作用として考慮すべき問題である.

本研究は、坐骨神経挫滅後、 $\alpha$ -isoproterenolが下肢筋の萎縮に対してどの様な効果をもたらすのか、また、その作用は赤筋と白筋とでは異なるのかについて、赤筋比率の高いヒラメ筋、白筋比率の高い前脛骨筋<sup>9)</sup>でそれぞれ調べた。さらに、 $\alpha$ -isoproterenolが顎下腺に及ぼす影響について、導管部についての研究は殆どないことから、今回腺房細胞に加え、顆粒性導管における分泌顆粒の形態的変化とN-アセチルグルコザミン(GlcNAc)を認識するGriffonia simplicifolia II (GS-II)、GlcNAcとシアル酸を認識するWheat germ agglutininin (WGA)によるレクチン反応の変化について調べた。

## 材料と方法

下肢筋; ICR系成熟マウス(雄・体重 34 ~ 43 g) 15 匹を用い、それぞれ5匹ずつ、コントロール群、坐骨 神経挫滅群, 坐骨神経挫滅後α-isoproterenol投与群の 3群に分けた.いずれも実験期間は3週間であった. 坐骨神経挫滅群はエーテル麻酔下において、 左大腿部 で坐骨神経を露出した後WhiteとVaughanの方法 10) に 従いピンセット (Dumond No. 5) で坐骨神経を 10 秒 間ずつ2回強くはさみ挫滅した後3週間飼育した. α-isoproterenol投与群は同様に神経を挫滅した後, α-isoproterenolを腹腔内に 5 mg/kgを 3 週間にわたり 毎日投与した後、体重を計測後すべての群の左側のヒ ラメ筋および前脛骨筋を摘出した. 摘出した試料は湿 重量計測後に細切し2.5% glutaraldehydeで2時間, さらに 1% osmic acid で後固定し、脱水後、エポキシ 樹脂に包埋した. 光顕用試料は, ガラスナイフで厚切 り切片とし, toluidine blueで染色した横断面の光顕写

真を、スキャナーでコンピューターに取り込み、各群につき無作為に選んだ筋線維 (n=500) の断面積をMacintosh用画像解析用アプリケーションである NIH image (Version 1.59) によって測定した。電顕用試料は、ダイヤモンドナイフで超薄切片を作成し、酢酸ウラニルと酢酸鉛で二重染色した後、透過型電子顕微鏡  $(日立 \cdot H-7000)$  で観察した。

顎下腺; コントロール群と坐骨神経挫滅後 α-isoproterenol投与群をそれぞれ5匹ずつ用いた.加 えて, 成熟Wistar系ラット(雌・体重約250g)6匹を それぞれ 3 匹ずつコントロール群と $\alpha$ -isoproterenol 投 与群に分け用いた. α-isoproterenol投与群はマウスと 同様に腹腔内にα-isoproterenol・5 mg/kgを毎日投与 した. いずれも3週間後に筋の摘出と同時に顎下腺を 摘出し、重量を計測後 2.5% glutaraldehyde 及び 1.6% paraformaldehydeを含む 0.1M cacodylate bufferを用 い4℃で3時間固定後,水洗,脱水,エポキシ樹脂に 包埋した. 包埋した試料はガラスナイフで厚切り切片 とし、toluidine blueで染色、光顕観察した。さらに、 ダイヤモンドナイフで超薄切片を作成し、Versuraの 方法<sup>11)</sup>に従ってGS-IIならびにWGAによるレクチン反 応を行い、酢酸ウラニルと酢酸鉛で二重染色した後, 電子顕微鏡で観察を行った.

統計処理; Stat view (Version 4.0) を用い,実験前後の体重変化の平均の差に関する検定はt検定を用いた. 筋線維の変化については,前脛骨筋及びヒラメ筋それぞれのコントロール群,坐骨神経挫滅群,坐骨神経挫滅後 $\alpha$ -isoproterenol投与群から無作為に選んだ筋線維 (n=500) の断面積及び筋湿重量の各群間の平均の差について Kruskal-Wallis testの後, Mann-Whitney's U testを行った.

なお,実験計画および方法については,埼玉医科大 学動物実験指針(承認番号 000120)に従った.

#### 結 果

## 1. 体重および筋重量の変化

実験前後の体重ならびに筋摘出時の筋湿重量に関してはTable.1に示す.体重に関してはそれぞれの群において実験前後での有意差は認められなかった.

筋湿重量はTable. 1 に示すように、ヒラメ筋では各群間ごとに有意差 (P<0.05) が認められた. 前脛骨筋では坐骨神経挫滅群と坐骨神経挫滅後 $\alpha$ -isoproterenol 投与群の間には有意差は認められなかったが、他に関しては各群間で有意差 (P<0.05) が認められた.

## 2. 筋線維の変化

筋断面積はFig. 1 に示すように、ヒラメ筋ではコントロール群と坐骨神経挫滅群及び坐骨神経挫滅後 $\alpha$ -isoproterenol投与群との間に有意差 (P<0.01) が

認められ、コントロール群、坐骨神経挫滅後 $\alpha$ -isoproterenol投与群、坐骨神経挫滅群の順に筋の断面積は小さくなり、それぞれ有意差 (P<0.01) が認められた。前脛骨筋に関しても、Fig. 2 に示すように、同様の傾向が見られたが、坐骨神経挫滅群と坐骨神経挫滅後 $\alpha$ -isoproterenol投与群との間には有意差は認められなかった。

各筋線維の超微細構造の変化については、Fig. 3、4に示すとおり、坐骨神経挫滅群では前脛骨筋、ヒラメ筋共に筋フィラメントの横紋パターンの不鮮明化が見られ、sarcoplasmic reticulumが拡大傾向にあり、A帯ならびにI帯の区別が殆どつかなかった。坐骨神経挫滅後 $\alpha$ -isoproterenol投与群では、坐骨神経挫滅群のような変性は少なく、特に前脛骨筋ではI帯の幅がやや広いように見えるがA帯ならびにI帯の区別は明瞭で、坐骨神経挫滅群と比較すると明瞭に筋フィラメントの横紋パターンを示していた(Fig. 4-c)。尚、このような変化はすべての標本において同様に認められた。

## 3. 顎下腺の変化

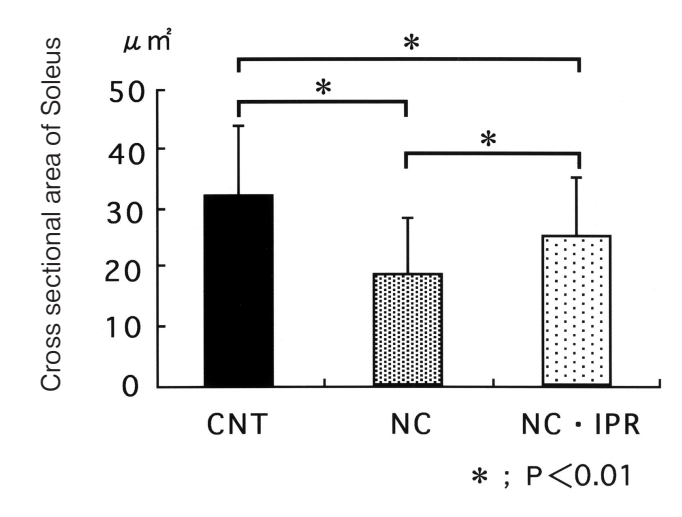
 $\alpha$ -isoproterenol投与群において終末部の腺房細胞に肥大が認められたが,顆粒性導管の上皮細胞には特に肥大は認めなかった.分泌顆粒の大きさは $\alpha$ -isoproterenol投与群,コントロール群で特に違いは見られなかった.コントロール群では電子密度の高い顆粒が全般に多数を占めていたが, $\alpha$ -isoproterenol投与群では,核に近い部位で電子密度の高い顆粒が多く見られたものの,腺腔近くでは電子密度の低い顆粒が多く見られた.また,コントロール群, $\alpha$ -isoproterenol投与群共に腺腔近くには,電子密度が比較的高めの小さな顆粒が多く分布していた.顆粒性導管の分泌顆粒

**Table 1.** The change of body weight before and after the experiment, and muscle wet weight of each group

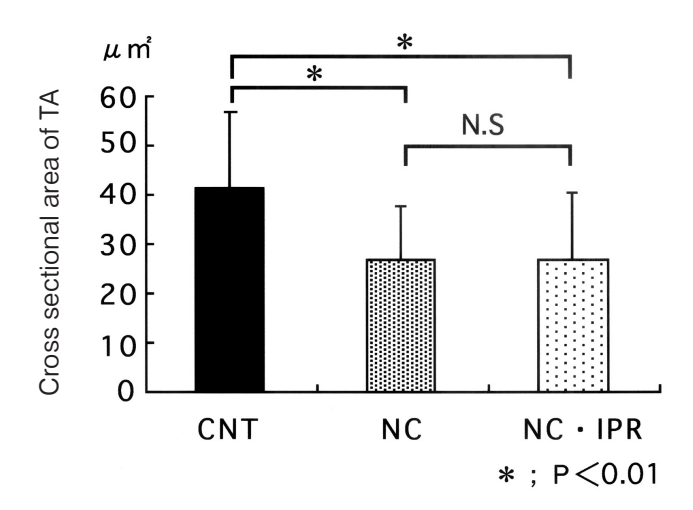
	Body weight		Muscle wet weight	
	Pre	Post	Soleus	TA
	g		mg	
CNT	39.1±2.7	39.0±2.9	12.3±1.2	96.0±14.4 7* 7
NC	38.4±2.8	38.2±2.9	7.7±0.9 = *	69.9± 4.5 = N.S
NC · IPR	37.1±3.7	36.6±3.3	10.1±1.4 ]* ]	74.3± 9.7
				*; P<0.05

The change of the body weight before and after the experiment in each group, there was no significant difference. The significant difference was not found between the isoproterenol administrated group and the nerve crush group in tibialis anterior (TA) muscle on a muscle wet weight, though there was significant difference (P<0.05) between other groups. CNT: Control group, NC: Nerve crush group, NC • IPR:  $\alpha$ -isoproterenol administration after nerve crush group.

ではGS-IIに対しては、両群共に殆ど反応が見られなかった。WGAに対しては、両群共に電子密度の高い顆粒に金粒子の付着がみられ、電子密度の低い顆粒では殆ど金粒子の付着が見られなかった (Fig. 5).  $\alpha$ -isoproterenol投与群では、コントロール群よりも電子密度の低い顆粒が多いため、全般的にはコントロール群の方がWGAに対して反応する顆粒の数が多かった。また、終末部の腺房細胞に肥大がマウス、ラット共に認められたが、ラットにおいては分泌顆粒に幾何学的な層板状構造を示す物質が見られた (Fig. 6a, b).

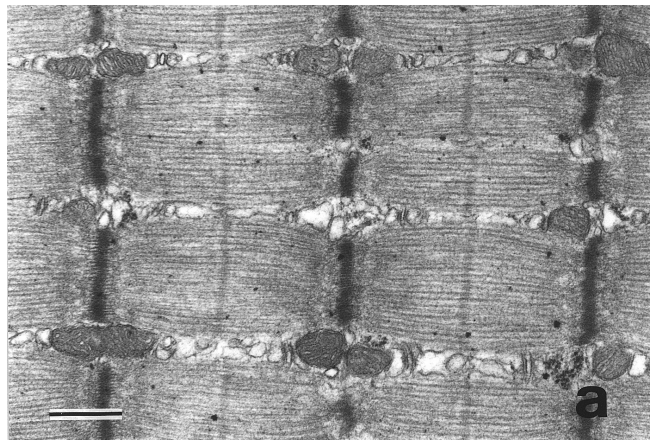


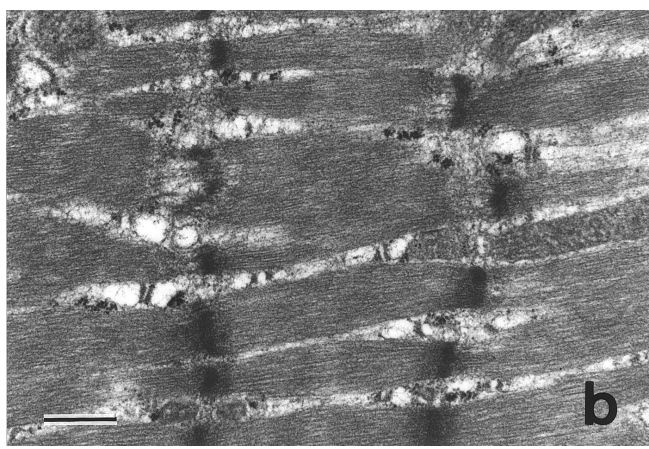
**Fig. 1.** Comparison of cross-sectional area between each group in the soleus muscle. There was significant difference (P<0.01) between each group; control (CNT), nerve crush (NC) and  $\alpha$ -isoproterenol administration after nerve crush (NC • IPR).

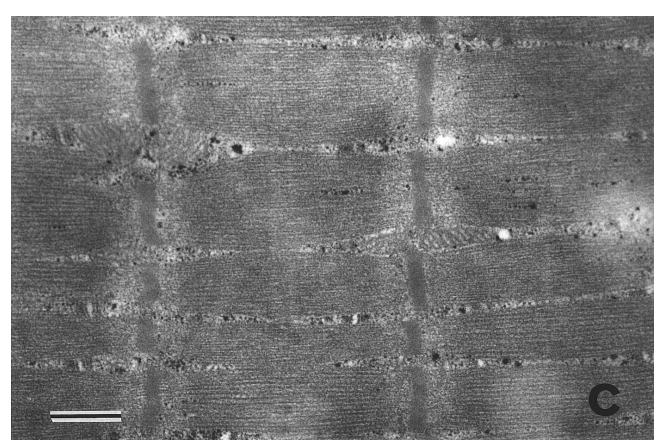


**Fig. 2.** Comparison of cross-sectional area between each group in the tibialis anterior (TA) muscle. There is no significant difference between nerve crush group (NC) and  $\alpha$ -isoproterenol administration after nerve crush group (NC • IPR). However, there was a significant difference (P<0.01) for control group (CNT) in nerve crush group (NC) and  $\alpha$ -isoproterenol administration after nerve crush group (NC • IPR).

この層板状構造物は、マウスにおいては認められなかった. 腺房細胞における分泌顆粒内の幾何学的な模様を示す構造物は、WGAに対して反応がみられた (Fig. 6c). なお、顆粒性導管の分泌顆粒には腺房細胞の分泌顆粒で見られたような幾何学的な模様を示す構造物の出現はマウス、ラット共に見られなかった.







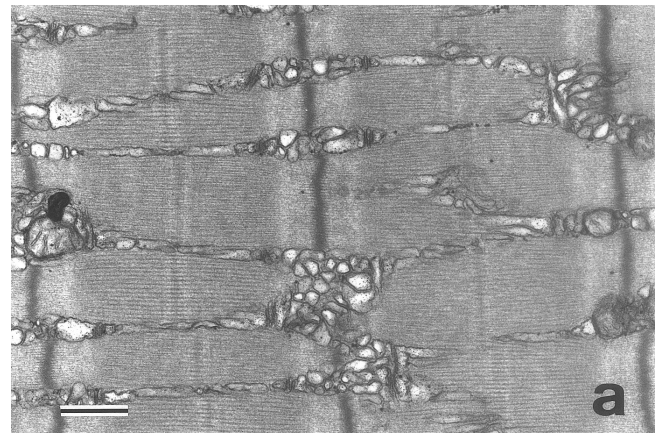
**Fig. 3.** Electron micrographs of the soleus muscle. Bar=  $500 \, \text{nm}$ . a: Control group. Mitochondria are abundant among myofibrils. b: No treatment after nerve crush. Striated pattern of the myofibrils is obscure. Sarcoplasmic reticulum is enlarged. c:  $\alpha$ -isoproterenol administration after nerve crush. Striated pattern of the muscle fiber is well preserved compared to the nerve crush group.

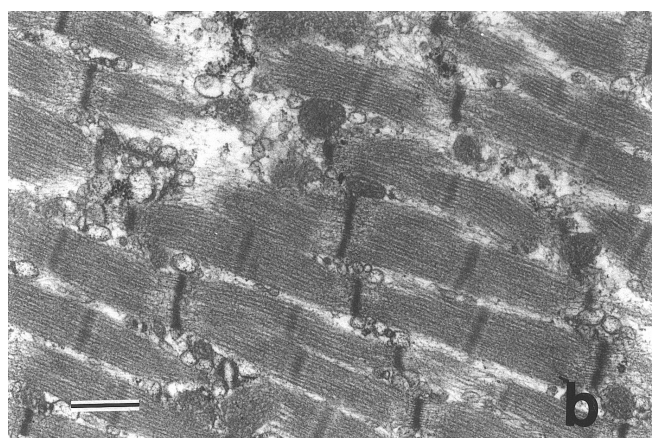
## 考察

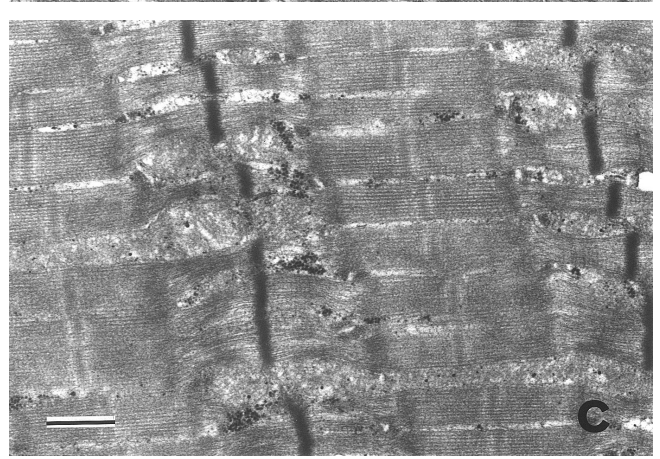
交感神経性の $\beta$ -作動薬である $\alpha$ -isoproterenolは $\beta$ -受容体を刺激し、心筋ならびに気道、消化管などに存在する平滑筋に影響を及ぼし、心拍出量の増加、血管抵抗の減少と気道、消化管の平滑筋の弛緩をもたらすことはよく知られている $^{4,12,13)}$ . また、 $\alpha$ -isoproterenolの投与が心筋のタンパク量を増し、 $\alpha$ -isoproterenolを培養液に加え培養すると、心筋のmyosinのH鎖の数が増加することをWilliam  $\beta^{3}$  は報告している。また、緒言にも述べたように、骨格筋を肥大させ $^{4}$ 、眼輪筋や、アブミ骨筋においてはチトクローム酸化酵素活性が増強することが報告されている $^{6,7}$ . さらに、顔面神経挫滅後に生じる筋線維の微細構造の変化は、 $\alpha$ -isoproterenolの投与によってほぼ正常に保たれていることから、顔面神経挫滅による筋の変性を軽減する作用が認められている $^{14}$ .

今回の実験でも、超微細構造においてはヒラメ筋、 前脛骨筋共に筋フィラメントの配列は神経挫滅後不規 則となり、神経挫滅後のα-isoproterenolの投与によっ て筋フィラメントの配列はコントロール群に近く保た れ、筋の変性を軽減する効果が認められた、神経挫滅 後のヒラメ筋において、 $\alpha$ -isoproterenol投与群では筋 の断面積が増していたが、前脛骨筋においては筋の断 面積の増加は見られず、有意差が見られなかった.同 様の結果が筋湿重量にも認められた. 各群における実 験前後の体重に有意差が見られないことから、これら の変化は体重の変化の影響を受けていないことが確認 された. マウスにおけるヒラメ筋は赤筋比率がきわめ て高く, 前脛骨筋は白筋が優位の筋であるとされてい る<sup>9</sup>. 今回の結果から, α-isoproterenolによる筋萎縮 の予防効果はより赤筋に作用するものであると推測さ れる.

町田 $^{7}$ によると、 $\alpha$ -isoproterenol投与により白筋、 赤筋ともにチトクローム活性が上昇し, 特に白筋に強 く作用すると報告している. チトクローム活性の亢進 は心筋において報告されているように骨格筋において も収縮蛋白の量的増加をもたらすと思われる. しか し、今回の研究では筋線維の太さについては  $\alpha$ -isoproterenolは赤筋に優位に作用した. チトクロー ム活性の亢進が直接筋の肥大に結びつくかどうかにつ いてはさらに検討を要するが、筋の種類と赤筋と白筋 の割合などによって影響されることも考えられる. こ れに関連して、Watson-Wright<sup>15)</sup>らは白筋と赤筋中のβ2 受容体の量について、赤筋に多く白筋で少ないと報告 している. α-isoproterenolはβ2 受容体に対しても効 果があり、Watson-Wrightら $^{15)}$ の報告は $\alpha$ -isoproterenol の効果が赤筋優位の筋であるヒラメ筋に優位に作用し た本研究の結果を裏付ける. 筋線維の太さについては 赤筋、白筋で差が見られたが、微細構造に関しては赤 筋、白筋ともに神経挫滅群よりも神経挫滅後 $\alpha$ -isoproterenol投与群では微細構造を保ち、赤筋、白筋で差が見られなかったことに関してはいくつかの理由が考えられる。 $\beta$ -作動薬は筋小胞体からの $Ca^{2+}$ の放出を促し筋の張力の発生を増強させ $^{16}$ 、さらに $\beta$ -作動薬はmyosinのH鎖のアイソフォームの形質転換を



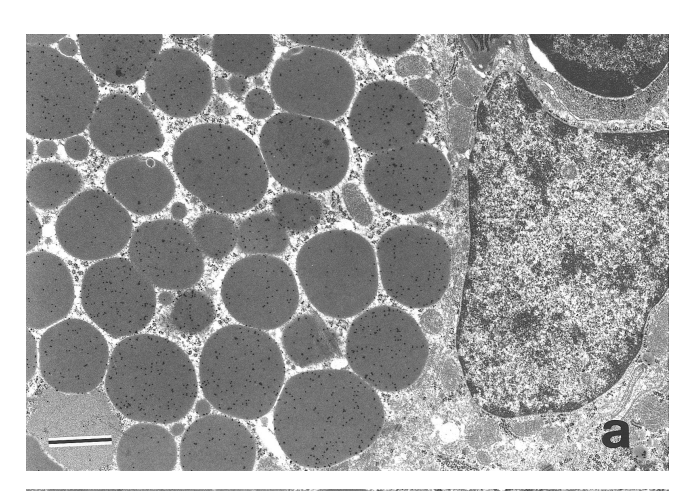


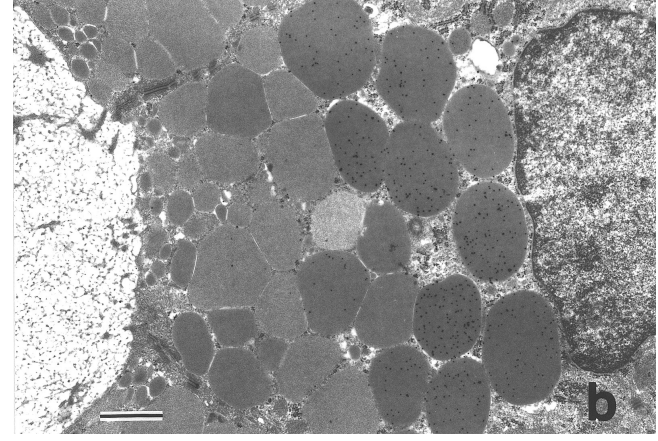


**Fig. 4.** Electron micrographs of the tibialis anterior muscle. Bar=500 nm. a: Control group. b: No treatment after nerve crush. Cross striation with A and I bands of the myofibrils is missing. Sarcoplasmic reticulum is enlarged. Note the staggering and disintegration of Z discs. c:  $\alpha$ -isoproterenol administration after nerve crush. Cross banded-pattern of the myofibrils is well preserved compared to the nerve crush group.

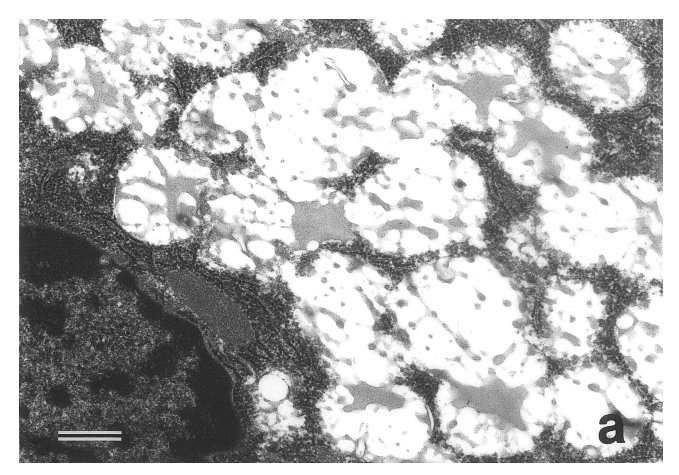
起こし、赤筋は白筋タイプのmyosinのH鎖のアイソ フォームへと形質転換する17,18)といわれこれらが微細 構造に影響することが考えられる. また, β受容体の 数とは逆にβ受容体に対する拮抗薬の親和性は赤筋よ りも白筋に強いこと<sup>15)</sup>から、β受容体の数だけでなく α-isoproterenolの赤筋, 白筋のβ受容体に対する親和 性の違いも影響することが考えられる. しかしなが ら、これらの点に関してはさらに検討する必要があ る. 赤筋, 白筋におけるβ受容体の数, β-作動薬に対 する親和性の違いなどにより赤筋と白筋でβ-作動薬 に対する応答にも違いが生じてくると思われるが、少 なくともα-isoproterenolは両タイプの筋線維に作用 し、電気的な持続的刺激が筋の変性を軽減するよう に、β受容体に対する持続的刺激が筋フィラメントの 微細構造ならびに配列を保つのに重要な働きをするも のと思われる.

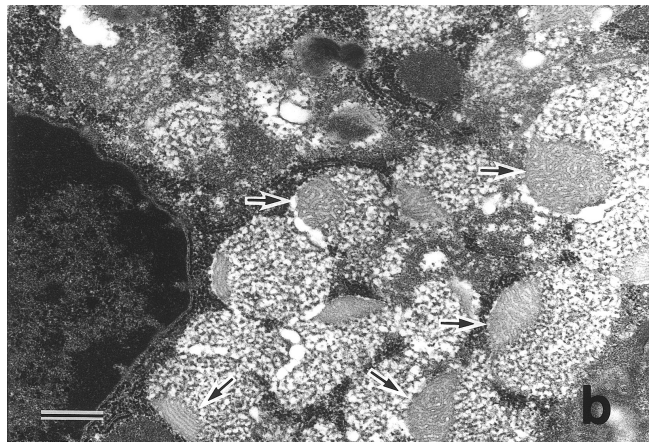
以上に述べてきた筋変性に対する $\alpha$ -isoproterenolの 効果は、長期臥床や神経損傷などによって十分な随意

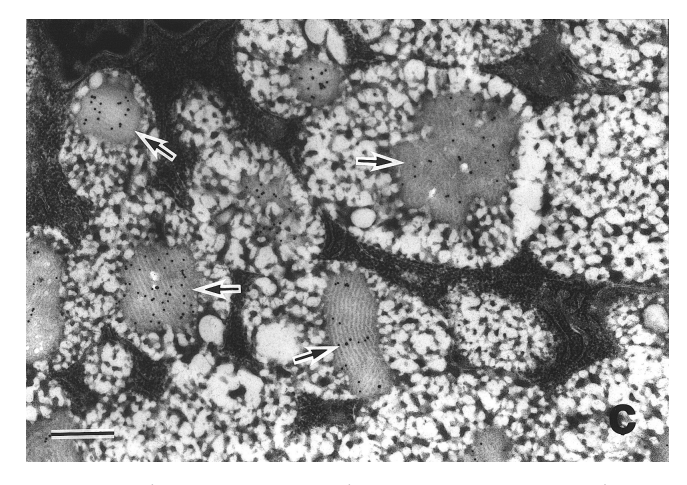




**Fig. 5.** Electron micrographs of granular duct cells after labelling with WGA. Bar=1  $\mu$ m. a: Control group. There are many granules with high electron density. These granules are labelling with WGA. b:  $\alpha$ -isoproterenol administration group. The granules with high electron density is reduced in number. The granules with low electron density are not labelled with WGA.







**Fig. 6.** Electron micrographs of secretory granules of submandibular gland acinar cells. Bar=500 nm. a: Control group. b:  $\alpha$ -isoproterenol administration group. Secretory granules with peculiar lamellar inclusions are present in the acinar cells (arrows). c: The peculiar lamellar inclusions exhibite WGA reactivity (arrows).

運動ができないために筋萎縮が進み,重度の機能障害 に発展することに対してある程度抑制する効果がある と思われる.一般に,人の立位の際に用いられるいわ ゆる抗重力筋のうち,大殿筋,内側広筋,脊柱起立筋,

ヒラメ筋などは赤筋優位の筋であるとされている<sup>19</sup>.  $\alpha$ -isoproterenolが特に赤筋に作用するとしたら、これ らの抗重力筋の筋萎縮に対する予防効果が期待でき る. これは、その後のリハビリテーションにとって非 常に有利である. 筋萎縮予防の試みとして, 随意的な 収縮のできない状態の筋に対して電気刺激を行うとい う方法がある<sup>20)</sup>.しかし、この方法は感覚障害がない 場合には通電時の皮膚の知覚神経を刺激するため、あ る程度の痛みを伴う. そのため、患者には大きなスト レスを加えることとなり、意欲低下につながりかねな い. その際には, α-isoproterenolは有効な手段の一つ として考えられる. また, 近年は, 電気刺激療法にお いても刺激波形を工夫することで苦痛の少ない方法で 臨床応用している報告<sup>21)</sup>もみられ, α-isoproterenolと の併用療法なども考えられる.しかし、実際に適用す るにあたっては,  $\alpha$ -isoproterenolは $\beta$ 1,  $\beta$ 2,  $\beta$ 3 受容 体に作用するとされており、心筋への影響を考慮する と、より選択的にβ2 受容体に作用する薬物を用いる 必要性があるかもしれない、これについては、今後の 研究が待たれる.

ところで, 臨床応用する際には, その薬剤の副作用 について考慮しなければならない. α-isoproterenolの 唾液腺に対する臨床的な副作用としての記載はないも のの、持続的に長期投与した場合に唾液腺を肥大させ ることは広く知られ、肥大だけでなく分泌物に特殊な 構造物が出現するなど多くの研究者が興味を示してい る<sup>8,22-25)</sup>. α-isoproterenol 投与後の顎下腺分泌物の質的 な変化について、Mehansho と Carlson®は生化学的な 分析により、特別なプロリンに富む糖蛋白が出現し、 糖にはマンノース, ガラクトース, N-アセチルグルコ ザミン (GlcNAc), フコースならびにシアル酸が含ま れていると報告している. また, α-isoproterenol 投与 によって糖蛋白の分泌が亢進することは免疫電顕的に も示されている<sup>22)</sup>. しかし, Versura<sup>11)</sup>はWGA, SBA, ConA, PNAの各レクチン反応の変化の電子顕微鏡的 定量化をおこない、PNAに対する反応性は変わらな いが、それ以外はすべて減少すると報告している. 岩 堀<sup>23)</sup>は、ラットに対してα-isoproterenolを投与し、WGA 及びGS-IIによるレクチン反応をそれぞれ行い、顎下 腺の腺房細胞の肥大及びVersuraの報告に反してWGA の反応性の増強を認めている. また、GS-IIの反応性 も高まったことから、α-isoproterenol投与後の反応性 の高まりはGlcNAcの増加によるものと考えている. 本研究においても, α-isoproterenolの投与で腺房細胞 の肥大が認められた. また, 分泌顆粒においては, 井 上24)が報告しているように幾何学的な模様を示す構造 物が見られた. この分泌顆粒に対しWGAによるレク チン反応を行ったところ, その幾何学的な模様の部分 にのみ反応を示した. このことから, この幾何学的な 模様を示す構造物は、プロリンに富む糖蛋白で、WGA に反応しGS-IIには反応が見られないことから糖とし てはシアル酸を含むものと思われる. 以前より α-isoproterenol 投与により幾何学的な模様を示す構造 物が出現することは知られていたが、本研究によっ て、この構造物にシアル酸が含まれることが証明され た. 腺房細胞におけるα-isoproterenolの影響について は多くの報告があるが、導管部の顆粒についての報告 は中山25)がわずかに報告しているのみである。中山25) はα-isoproterenol 投与後のラットの顆粒性導管におけ る分泌顆粒の変化をその大きさと電子密度により3種 類の顆粒群に分類し、コントロール群と比較し小顆粒 が増加し, 腺腔に近づくに従って小顆粒の頻度が高く なっていると報告している.しかし、本研究では、顆 粒のサイズは、コントロール群、 $\alpha$ -isoproterenol 投与 群共に違いは認められず、腺腔に近づくに従って小顆 粒の頻度が高い傾向も両群において違いは認められな かった. これに関しては、顆粒性導管は、主に交感性 の神経支配を受け、α及びβ受容体作動薬の投与によ り開口分泌を起こすとされ $^{26,27)}$ ,本研究は3週間にわ たる長期投与後の報告であるのに対し、中山<sup>25)</sup>の報告 は α-isoproterenol 投与後 6 時間の結果であり、開口分 泌を起こした直後の結果であるためこのような違いが 出たものと思われる. また, 中山の報告と同様に, α-isoproterenol 投与群の顆粒の電子密度は多様であっ たが、その比率については、本研究においてはレクチ ン反応を行うためglutaraldehyde単独固定であったの で、osmic acid単独固定の中山の報告と電子密度の違 いによる比較はできない. レクチン反応については, コントロール群, α-isoproterenol投与群共にGS-IIに は殆ど反応が見られず、WGAに対しては電子密度の 高い顆粒には両群共によく反応していた. 緒言でも述 べたとおり、WGAはGlcNAcとシアル酸の両者を認識 し、GS-IIはGlcNAcにより特異的に反応することから、 顆粒性導管の分泌顆粒に対するレクチン反応について は、電子密度の高い顆粒に含まれるシアル酸に反応し ているものと思われた. 電子密度の高い顆粒に対する WGAによる反応は、コントロール群、α-isoproterenol 投与群で変化は見られなかったが、 $\alpha$ -isoproterenol投 与群ではWGAに反応しない電子密度の低い分泌顆粒 の比率が高まったことから, α-isoproterenol投与によ りシアル酸を含まない分泌顆粒が増加したことを示し ている. 電子密度の低い分泌顆粒の比率が高まったこ とは、おそらく $\alpha$ -isoproterenol投与によりシアル酸を 含む顆粒の放出が起こったためと思われる. 岩堀23) は, α-isoproterenol投与によって腺房細胞の分泌顆粒 におけるWGA及びGS-IIに対する反応性の高まりは, GlcNAcの増加によるものと考えているが、顆粒性導 管の分泌顆粒は主にシアル酸を含んでいるものと考え られる. 交感神経の刺激により粘性の高い唾液が分泌 されるようになることはよく知られている. 唾液の粘

性はシアル酸の含量が重要な働きをしており、 $\alpha$ -isoproterenol投与によりシアル酸を含む顆粒の放出が起こり、唾液の粘性に変化が現れることが考えられる.

#### まとめ

 $\alpha$ -isoproterenol投与により坐骨神経挫滅後のヒラメ筋及び前脛骨筋の微細構造上の変性を防ぐ効果が認められた. 筋線維の断面積は,ヒラメ筋では神経挫滅群に比べ $\alpha$ -isoproterenol投与群で有意に大きく,前脛骨筋では有意差が見られなかったことから神経挫滅後の $\alpha$ -isoproterenolの効果は,赤筋優位に作用することが推察された.

顎下腺では、 $\alpha$ -isoproterenol投与により腺房細胞が肥大し、分泌顆粒には幾何学的な層板状構造物がみられた。この構造物はGS-IIに殆ど反応せずWGAに反応していたため、シアル酸を含むことが明かとなった。顆粒性導管における分泌顆粒は、コントロール群で電子密度の高いものが多く、 $\alpha$ -isoproterenol投与群では電子密度の高い顆粒は減少していた。レクチン反応は、両群共にGS-IIに殆ど反応せず、WGAに対しては電子密度の高い顆粒によく反応していたことから導管部の分泌顆粒にはシアル酸が多く含まれると推測された。

#### 謝辞

稿を終えるにあたり、本研究のために終始ご懇篤なる御指導を賜りました、埼玉医科大学第一解剖学教室金子勝治教授に深甚なる謝意を捧げますと共に、御協力いただいた第一解剖学教室、形態部門の皆様に感謝いたします。

なお、本論文の要旨の一部は、第 106 回日本解剖学 会において発表された.

## 文 献

- 1) 半田康延. 麻痺筋・廃用筋に対する治療的電気刺激. 総合リハ 1996;23:211-8.
- 2) 川村次郎. 電気療法の歴史. 臨整外 1995;30:147-53.
- 3) William AC, Steven JR, Laura CA, Lapres JJ. Myosin heavy chain synthesis is independently regulated in hypertrophy and atrophy of isolated adult cardiac myocytes. J Biol Chem 1994;269:25562-9.
- 4) Deshaies Y, Willemot J, Leblanc J. Protein synthesis, amino acid uptake, and pools during isoproterenolinduced hypertrophy of the rat heart and tibialis muscle. Can J Physiol Pharmacol 1981;59:113-21.
- 5) Maltin CA, Hay SM, Delday MI, Smith FG, Lobley GE, Reeds PJ. Clenbuterol, a beta-agonist induces growth in innervated and denervated rat soleus muscle via apparently different mechanisms. Biosci Rep 1987;7:525-32.
- 6) Ishii K, Zhai WG, Akita M. Effect of isoproterenol on

the orbicularis oculi and stapedius muscles. ORL J Otorhinolaryngol Relat Spec 1998;60:98-102.

- 7) 町田雅秀. 顔面神経挫滅後の眼輪筋変性に対する α-isoproterenolおよび, Matrigelによる神経被覆の 効果について. 臨床電顕誌 1997;30:35-43.
- 8) Mehansho H, Carlson DM. Induction of protein and plycoprotein synthesis in rat submandibular grands by isoproterenol. J Biol Chem 1982;258:6616-20.
- 9) Burkholder TJ, Fingado B, Baron S, Lieber RL. Relationship between muscle fiber type and sizes and muscle architectural properties in the mouse hindlimb. J Morphol 1994;221:177-90.
- 10) White KK, Vaughan DW. The effects of age on atrophy and recovery in denervated fiber types of the rat nasolabialis muscle. Anat Rec 1991;229:149-58.
- 11) Versura P, Maltarello MC, Muler RM, Roomans GM. Change in glycoconjugates in rat submandibular gland after chronic treatment with reserpine and isoproterenol. Histochemistry 1988;90:285-8.
- 12) Lubert S. Biochemistry. WH Freeman and company. New York:1991:981-92.
- 13) Taylor P, Tang Q. Development of isoproterenolinduced cardiac hypertrophy. Can J Physiol Pharmacol 1984;62:864-9.
- 14) Ishii K, Sowa K, Zhai WG, Akita M. Effects of  $\alpha$ -isoproterenol on denervation atrophy in orbicularis oculi muscle fibers. Histopathology 1998;13:1015-8.
- 15) Watson-Wright WM, Wilkinson M. The muscle slice—a new preparation for the characterization of beta-adrenergic binding in fast- and slow-twitch skeletal muscle. Muscle Nerve 1986;9:416-22.
- 16) Cairns SP, Westerblad H, Allen DG. Changes of tension and [Ca<sup>2+</sup>]i during beta-adrenoceptor activation of single, intact fibres from mouse skeletal muscle. Pflugers Arch 1993;425:150-5
- 17) Stevens L, Firinga C, Gohlsch B, Bastide B, Mounier Y,

- Pette D. Effects of unweighting and clenbuterol on myosin light and heavy chains in fast and slow muscles of rat. Am J Physiol Cell Physiol 2000;279:C1558-63.
- 18) Ricart-Firinga C, Stevens L, Canu MH, Nemirovskaya TL, Mounier Y. Effects of beta(2)-agonist clenbuterol on biochemical and contractile-properties of unloaded soleus fibers of rat. Am J Physiol Cell Physiol 2000;278:C582-8.
- 19) Johnson MA, Polgar J, Weightman D, Appleton D. Data on the distribution of fiber types in thirty-six human muscles an autopsy study. J Neurol Sci 1973;18:111-29.
- 20)寿田三葉,清重佳郎,伊橋光二,八木了,半田康延. 治療的電気刺激が麻痺筋の収縮特性疲労耐性に与 える影響. 理学療法学 1998;25:121-7.
- 21) Mokrush T, Long term clinical experiences with electrotherapy of denervated muscle. Proc 5th Intern Workshop FES; 1995; Vienna: p. 71-4.
- 22) Matuura S, Hand AR. Quantitative immunocytochemistry of rat submandibular secretory proteins during chronic isoproterenol administration and recovery. J Histochem Cytochem 1991;39:945-54.
- 23)岩堀泰基.  $\alpha$ -イソプロテレノール投与ならびに鼓索神経切除後の顎下腺分泌顆粒におけるGS-IIとWGAの反応性に関するレクチン組織化学. 臨床電顕誌 2001;33:111-8.
- 24) 井上孝. Isoproterenol 長期投与ラット顎下腺の微細構造に関する研究. 歯科学報 1982;82:1267-98.
- 25)中山美治郎. 雄ラット顎下腺顆粒性膨大部における 分泌顆粒のisoproterenol投与による変動. 医学研究 1987;47:611-9.
- 26)山科正平. 唾液腺腺房細胞の分泌と膜流動. 細胞 1978:10:627-39.
- 27) Hazen-Martin DJ, Simson JAV. Ultrastructure of secretory response of male mouse submandibular gland granular tubules. Anat Rec 1986;214:253-65.

© 2001 The Medical Society of Saitama Medical School